FIAT LUX ET LUX EST

IN HOC SIGNO VINCES

Le traiettorie di salute Torino (TO) - 7 giugno 2025 Strategie culturali-sociali e terapeutiche per la salute metabolica Bra, Località POLLENZO (CN) - 22 novembre 2025

Ad ogni obesità il suo farmaco (?)

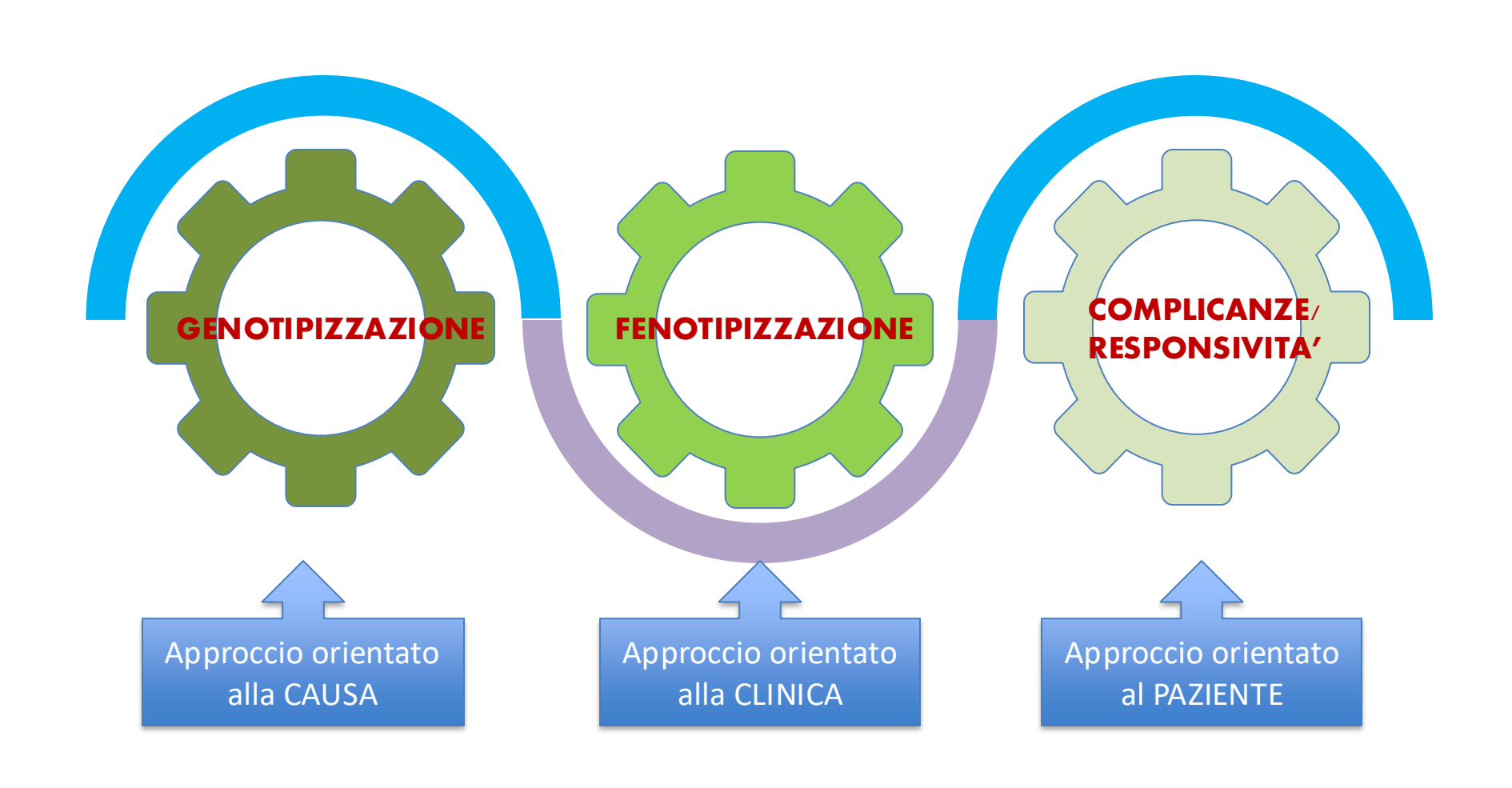
Paolo Marzullo

Endocrinologia, AOU Maggiore e Università del Piemonte Orientale

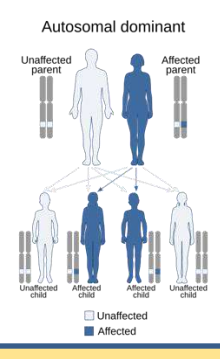
Novara

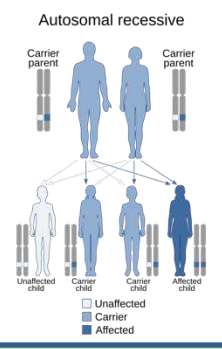


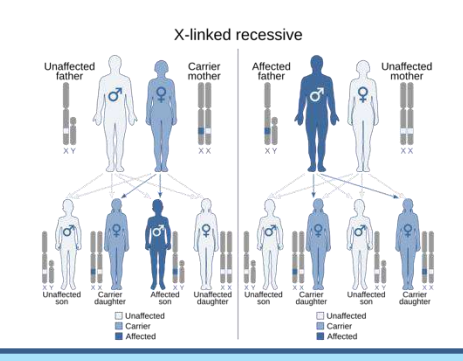




Disturbi mendeliani legati a obesità sindromica







Autosomal Dominant Inheritance ro

Achondroplasia (ACH)

Albright hereditary osteodystrophy

Angelman syndrome

Insulin resistance syndromes

Posterior polymorphous corneal dystrophy

Familial partial lipodystrophy Dunnigan

Prader Willi syndrome

Thyroid hormone resistance syndrome

Ulnar-mammary syndrome

Autosomal Recessive Inheritance

Des Alstrom syndrome

Bardet-Biedl syndrome

Berardinelli-Seip cong. lipodystrophy

Cohen syndrome

a

Carbohydrate defic. glycoprot. type 1a

Fanconi-Bickel syndrome

Isolated growth hormone deficiency

Combined pituitary hormone deficiency

X-linked Inheritance

Borjeson-Forssman-Lehmann syndrome

Chroroideremia

)SO _{Mehmo} syndrome

Mental retardation X-linked, syn. 7

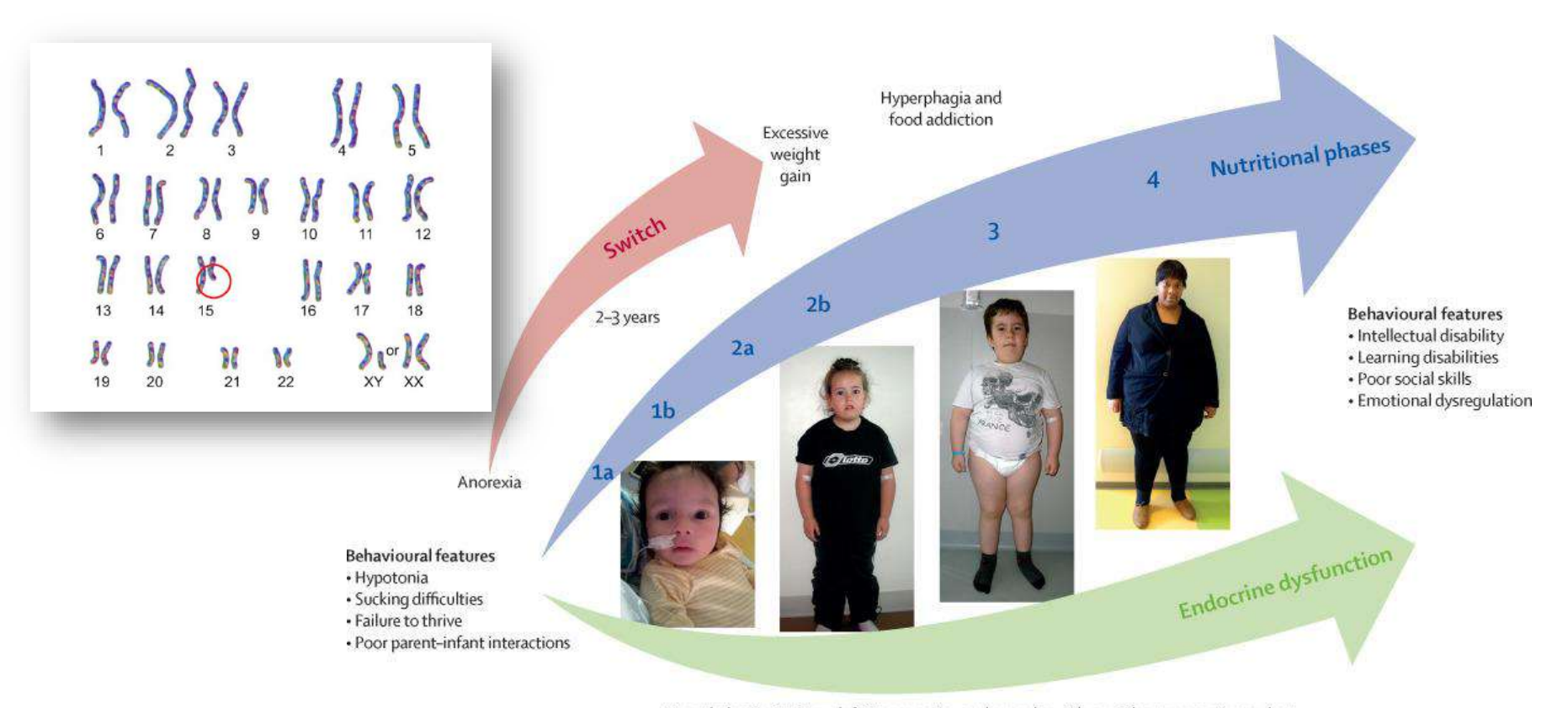
Prader-Willi-like syndrome

Nti Shashi X-linked mental retardation syndrome

Simpson-Golabi-Behmel

Wilson-Turner syndrome

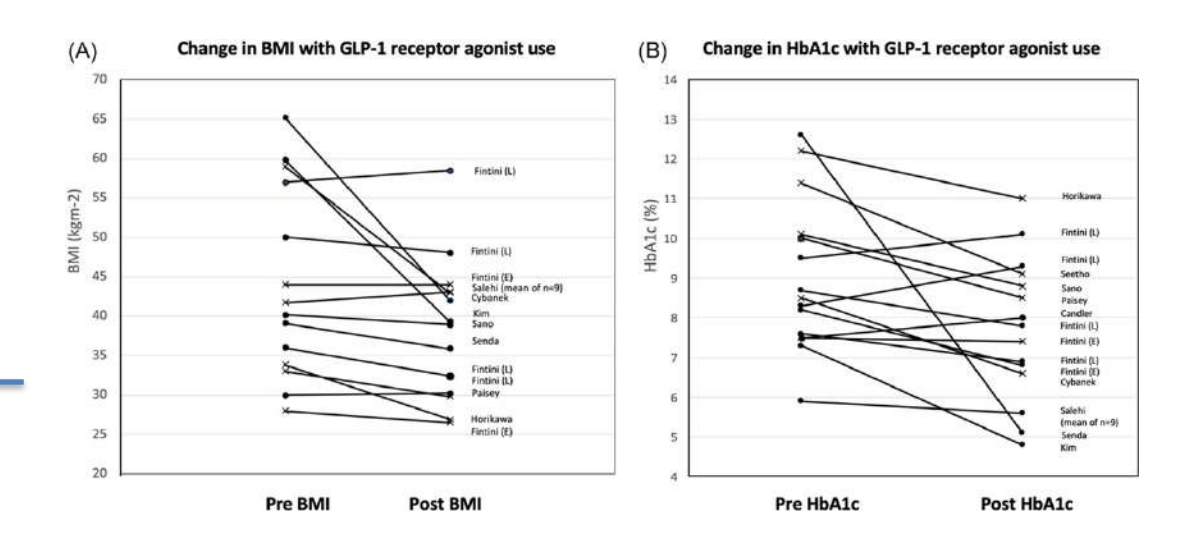
Obesità sindromica: la sindrome di Prader-Willi

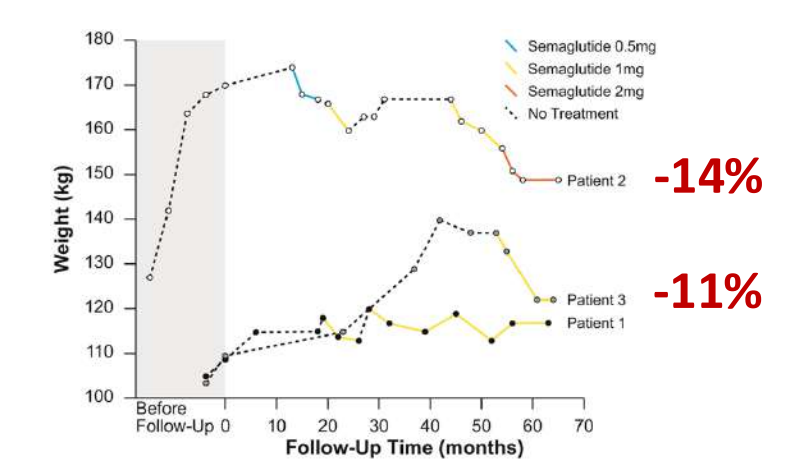


Hypothalamic pituitary deficits, precocious adrenarche with or without precocious puberty, diabetes, and oxytocin and ghrelin dysfunction

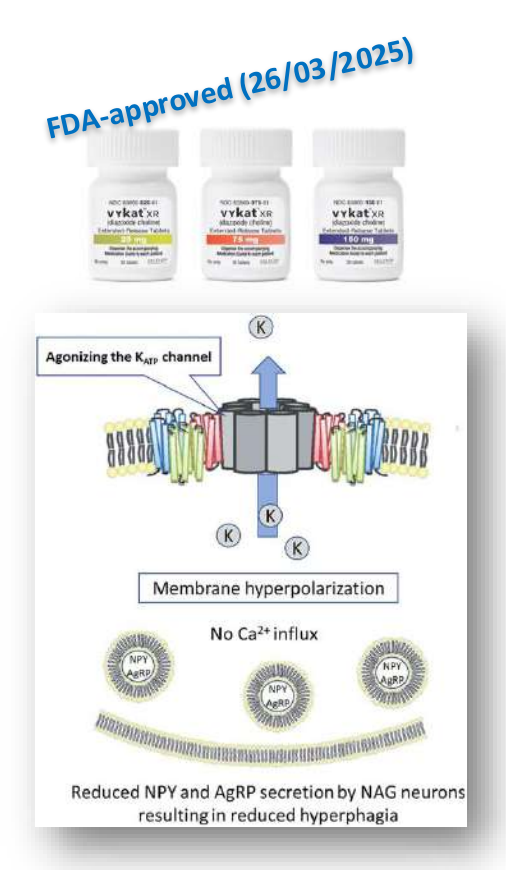
Uso di GLP1-RA nella sindrome di Prader-Willi

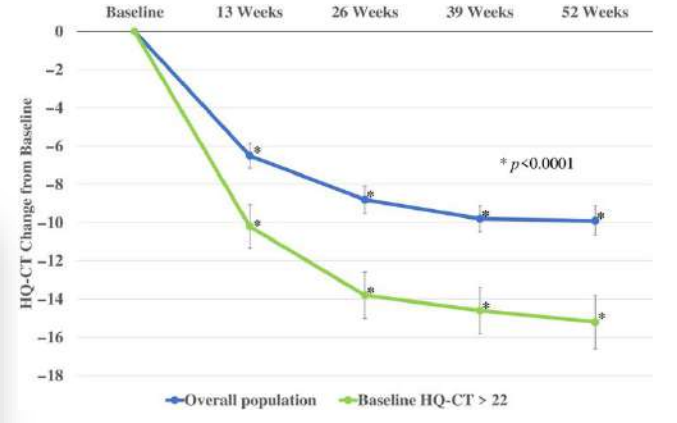
- •10 studi su 23 pazienti con PWS (exenatide n=4; liraglutide n=9)
- Miglioramento del BMI in 10 (da -1,5 a -16,0 kg/m2)
- Miglioramento dei livelli di sazietà.

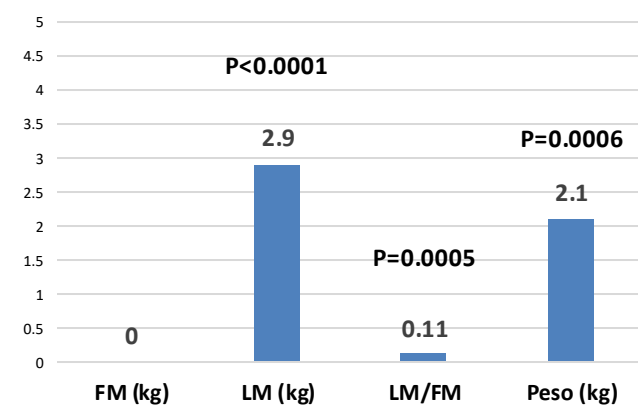




Diazossido di colina nella sindrome di Prader-Willi

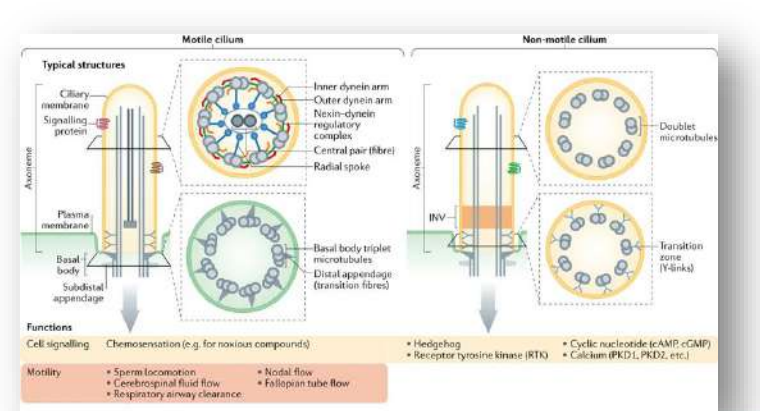






- Miglioramenti significativi e clinicamente rilevanti dell'iperfagia.
- Miglioramenti significativi in altre complicanze comportamentali.
- Riduzioni significative della gravità della malattia.

Obesità sindromica: Sindrome di Bardet-Biedl



L'alterazione della segnalazione ciliale nella via del recettore della melanocortina-4 (MC4R) può contribuire all'obesità nella sindrome di Bardet-Biedl (BBS) o nella sindrome di Alström

ii. Diagnostic features
Primary features

Rod-cone dystrophy

All four limbs:

Upper limbs only:

Lower limbs only:

Polydactyly











Obesity
Genital anomalies
Renal anomalies
Learning difficulties
Secondary features
Speech delay

Secondary features
Speech delay
Developmental delay
Diabetes mellitus
Dental anomalies
Congenital heart disease
Brachydactyly/ syndactyly
Ataxia/ poor coordination
Anosmia/hyposmia

0170
54-81%
50-91%
6-48%
51%
7%
46-100%/8-95%
40-86%

60%

Frequency

93% 63-81%

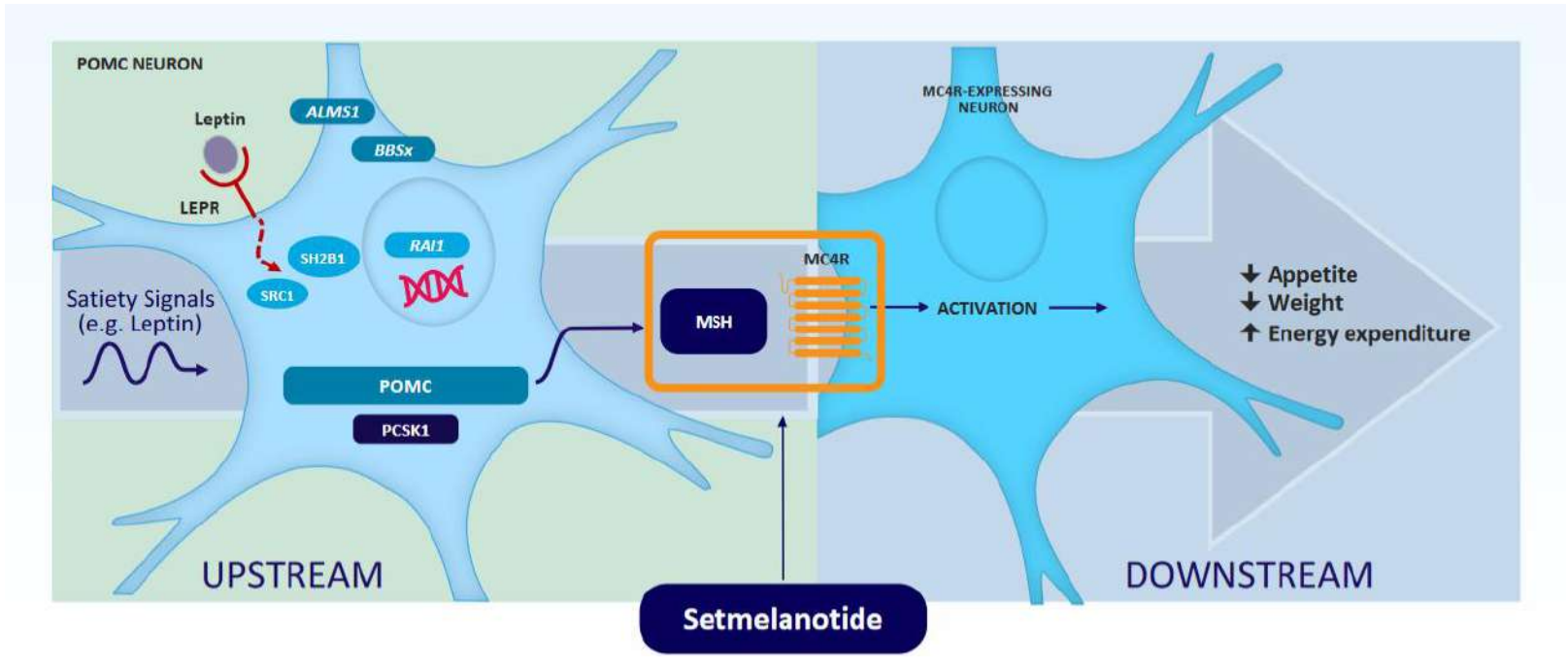
21%

9% 21%

72-92% 59-98% 53% 61%

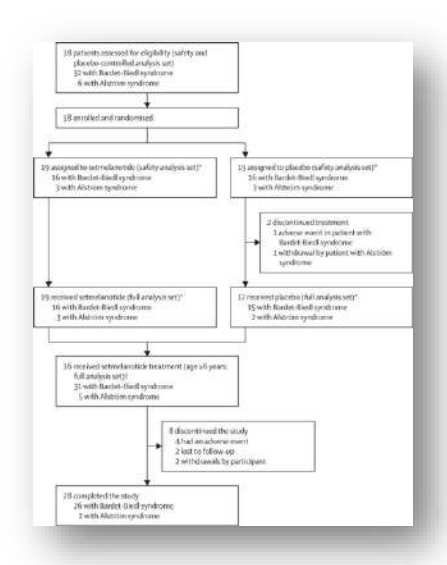
Forsythe E, Kenny J, Bacchelli C, Beales PL. Managing Bardet-Biedl Syndrome-Now and in the Future. Front Pediatr. 2018 Feb 13;6:23. Reiter, J., Leroux, M. Genes and molecular pathways underpinning ciliopathies. *Nat Rev Mol Cell Biol* **18**, 533–547 (2017).

Alterazioni del pathway di MC4R

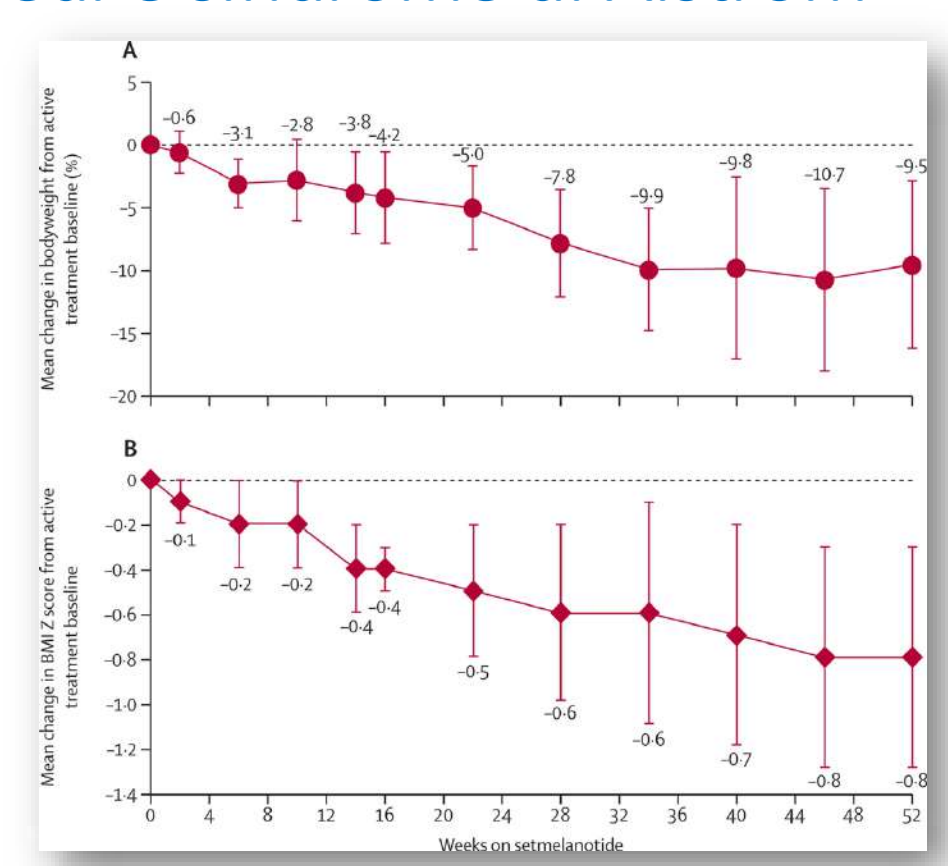


Setmelanotide interagisce con le alterazioni del pathway di MC4R contribuendo al trattamento dell'obesità di origine ipotalamica genetica o acquisita

Setmelanotide in pazienti con sindrome di Bardet-Biedl e sindrome di Alström



 Il 32,3% dei pazienti ha raggiunto una riduzione del peso corporeo di almeno il 10% dopo 52 settimane di setmelanotide



Obesità monogeniche

Iperfagia e obesità precoce

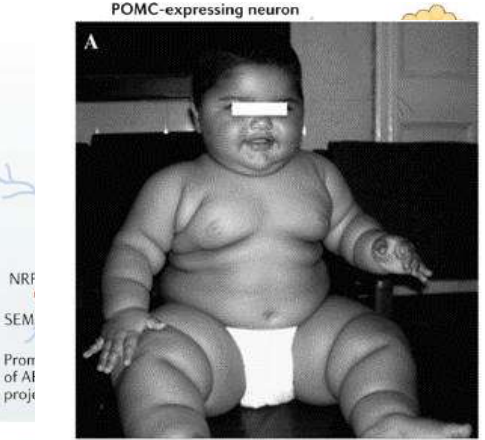
Obesità grave ≤5 anni

Consanguineità fra genitori

Peso normale nei genitori

Possibili deficit ipofisari

- Deficit di Lep o LepR
- Deficit di POMC
- Deficit di PCSK1
- Deficit di MC4R
- Deficit di SH2B1
- Deficit di GNAS
- Deficit di CPE
- Deficit di NCOA1





PVN

AGRP-expressing neuron

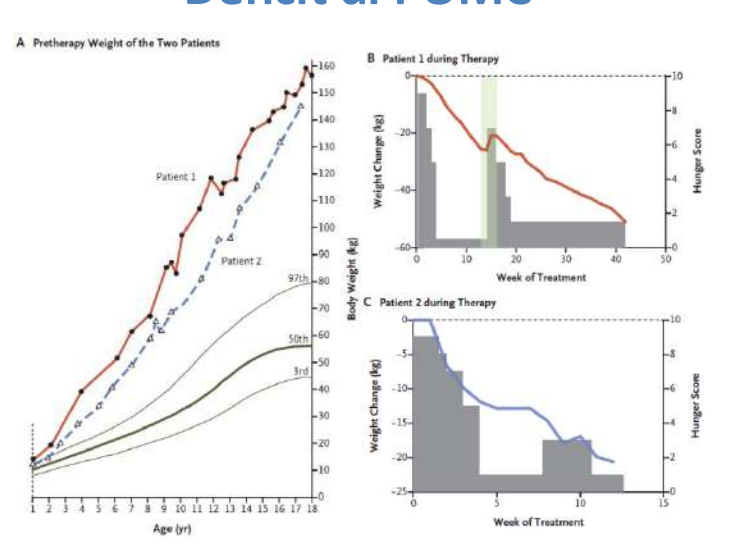




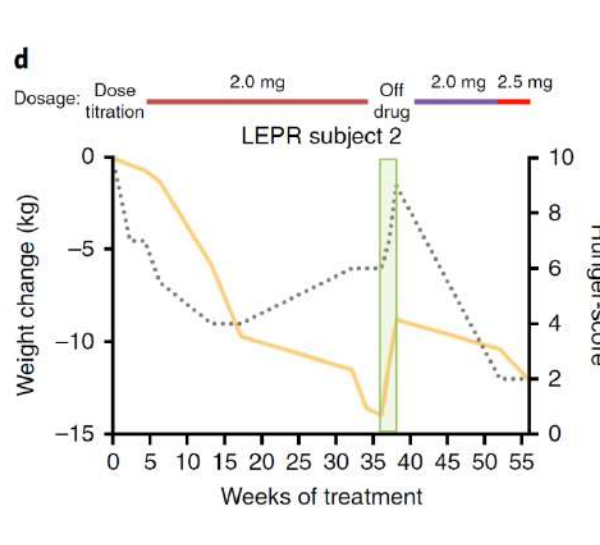


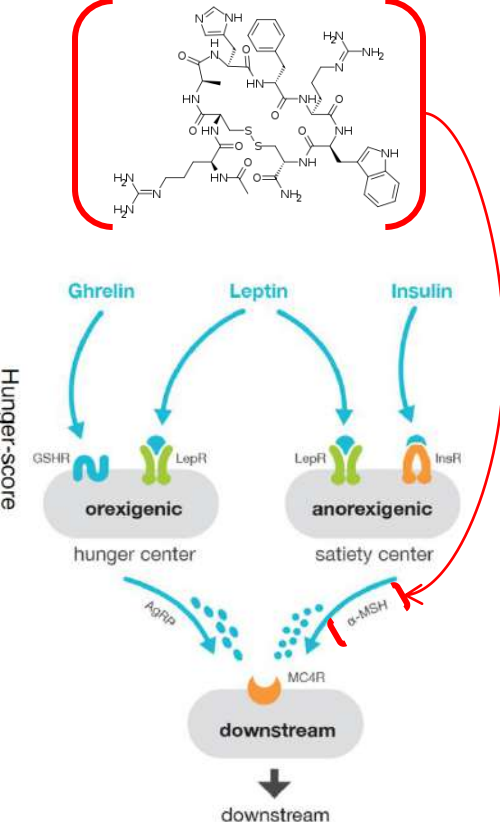
Setmelanotide riduce la fame e il peso nei pazienti con deficit di POMC o LEPR

Deficit di POMC



Deficit di LEP-R





Obesità ipotalamica (su base organica)

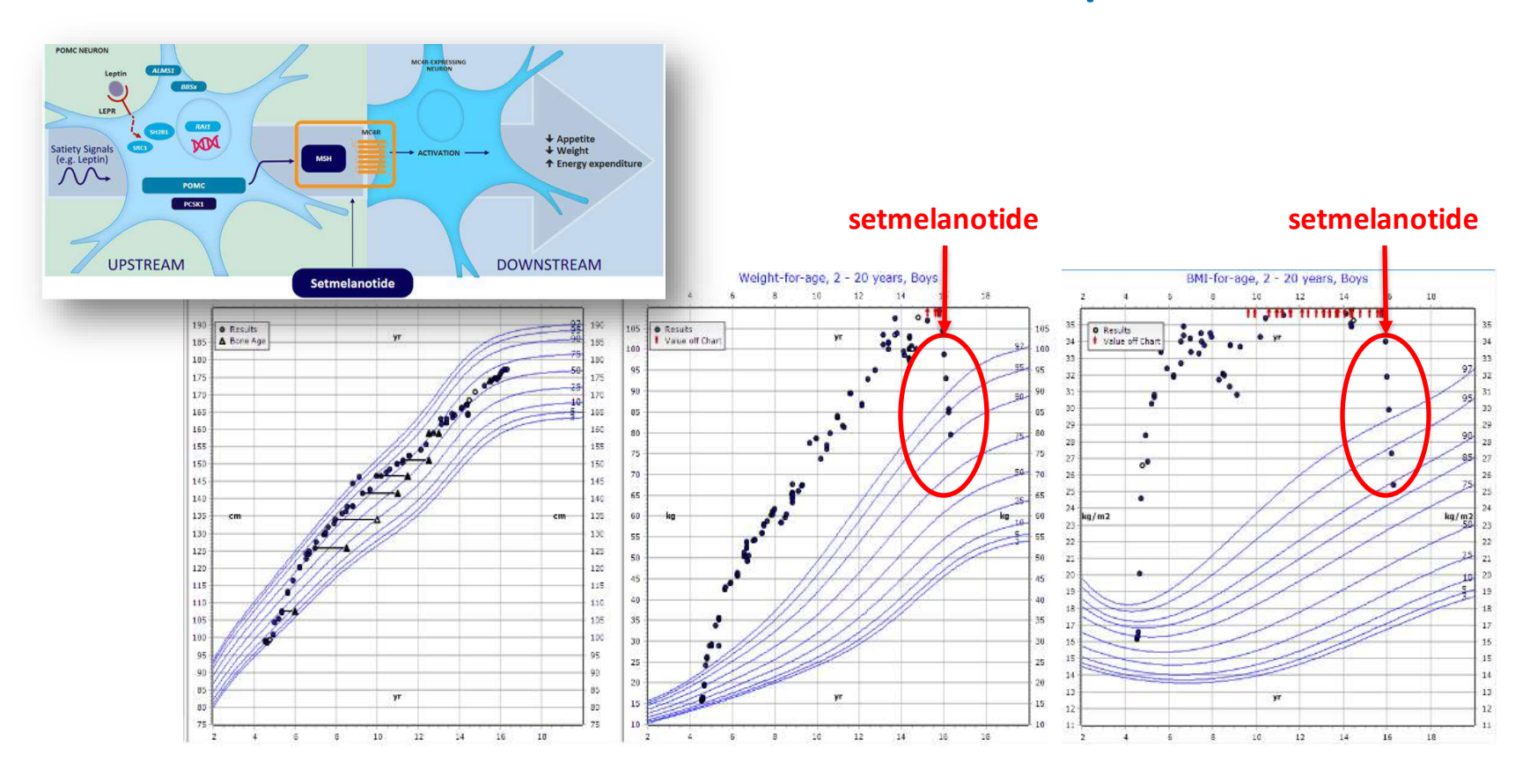


Interessa il 20% pre-diagnosi e fino al 70% dei casi curati per craniofaringioma

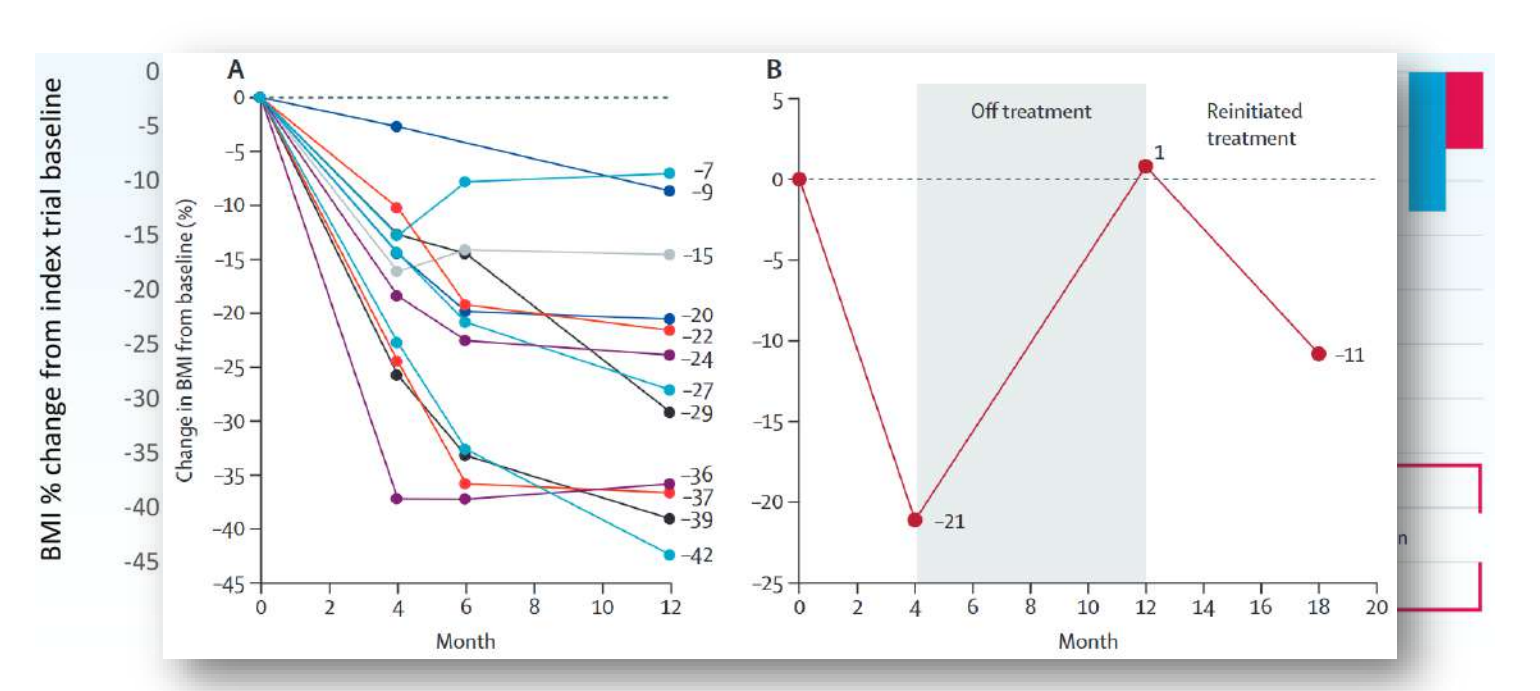
Bassa attività fisica e dispendio energetico, scarse prestazioni neurosensoriali



Setmelanotide nell'obesità ipotalamica



Setmelanotide in pazienti con obesità ipotalamica



1-3 mg/d

Roth CL, Scimia C, Shoemaker AH, Gottschalk M, Miller J, Yuan G, Malhotra S, Abuzzahab MJ. Setmelanotide for the treatment of acquired hypothalamic obesity: a phase 2, open-label, multicentre trial. Lancet Diabetes Endocrinol. 2024 Jun;12(6):380-389. doi: 10.1016/S2213-8587(24)00087-1. Epub 2024 Apr 30. PMID: 38697184.

Azioni extra-ipotalamiche degli incretino-mimetici

La capacità di influenzare l'assunzione di cibo, la motivazione e la preferenza alimentare è mediata dalla riduzione dei livelli di dopamina dopo l'attivazione di LSc



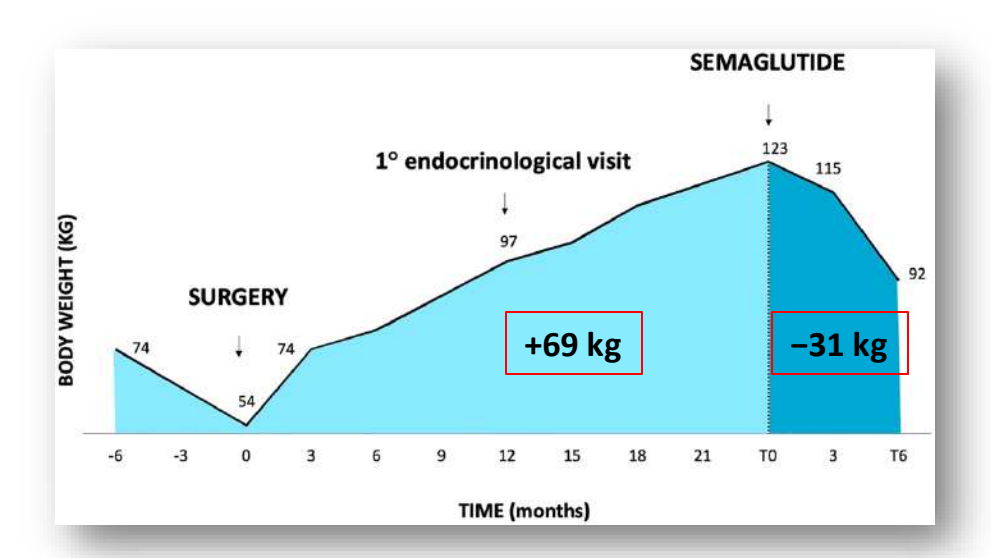
JCEM Case Reports, 2023, 1, 1–5 https://doi.org/10.1210/jcemcr/luad074 Advance access publication 27 July 2023

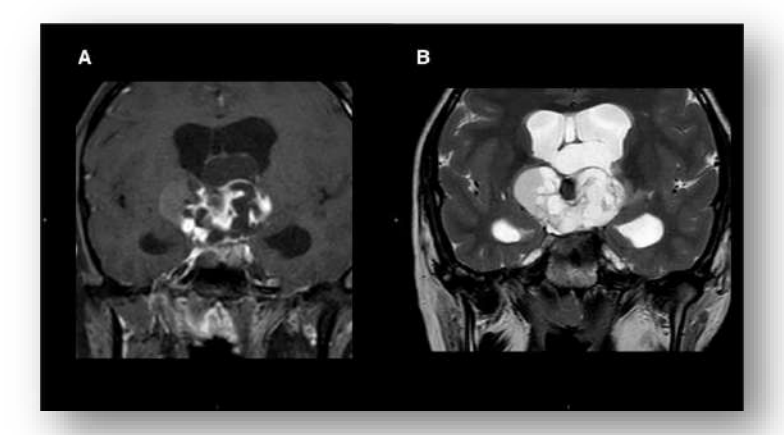




Semaglutide for Treating Obesity Induced by Craniopharyngioma Resection: A Successful Case Study

Cristina Sciacovelli, 1.2 Ginevra Moschione, 1.2 Silvia Garelli, 1 and Uberto Pagotto 1.2 Inc.





Questionnaire	Before semaglutide	6 months after semaglutide
Binge eating disorder ^a	39	19
Cognitive restraint of eating ^b	10	6
Dishinibited/uncontrolled eating ^c	14	6
Hunger ^d	13	1

[&]quot;Binge Eating Disorder Scale: $<\!17$ improbable, 17-27 possible, $>\!27$ probable.

^bThree-Factor Eating Questionnaire: > 11 indicative of restraint.

^oThree-Factor Eating Questionnaire > 8 indicative of disinhibition.

^dThree-Factor Eating Questionnaire > 7 indicative of hunger.

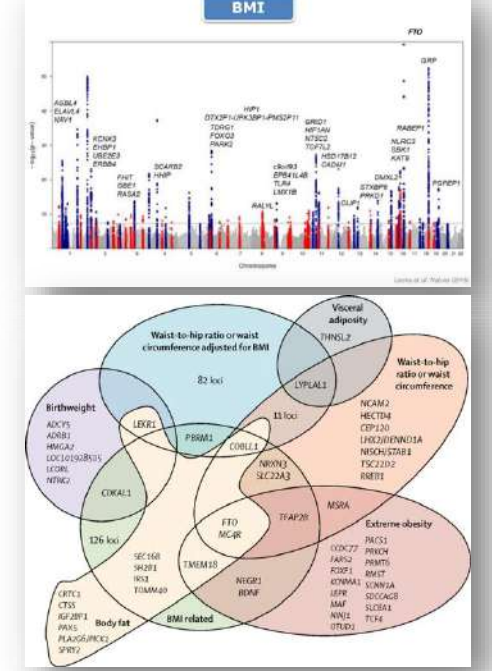
Quali terapie nell'obesità poligenica

È il tipo più comune di obesità.

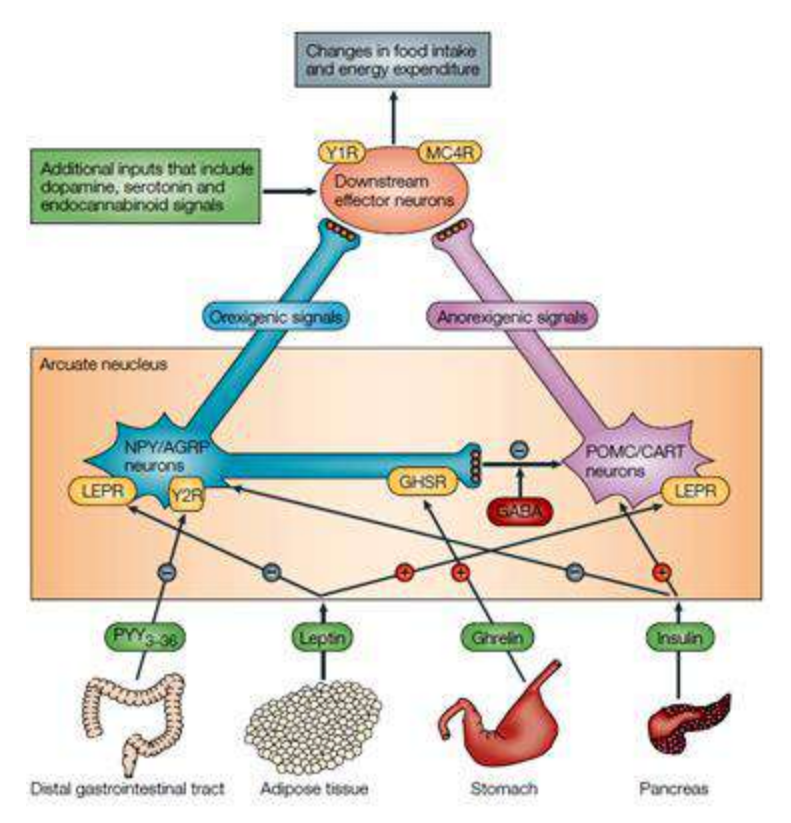
È causata dagli effetti combinati di più geni, ciascuno con un effetto piccolo ma cumulativo.

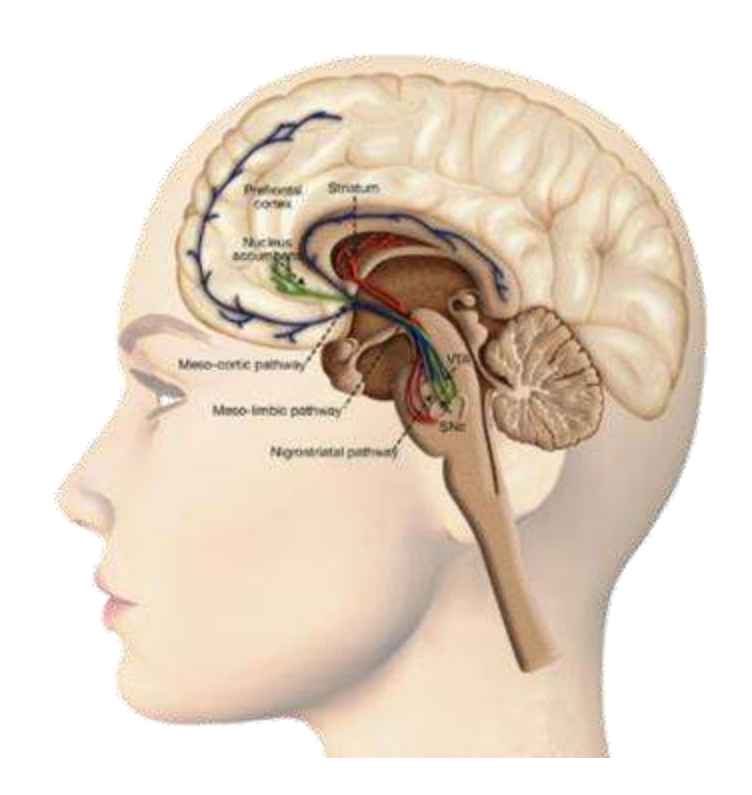
Origina dall'interazioni delle varianti geniche con fattori comportamentali e/o ambientali (ad. es., comportamento alimentare, attività fisica, stress).



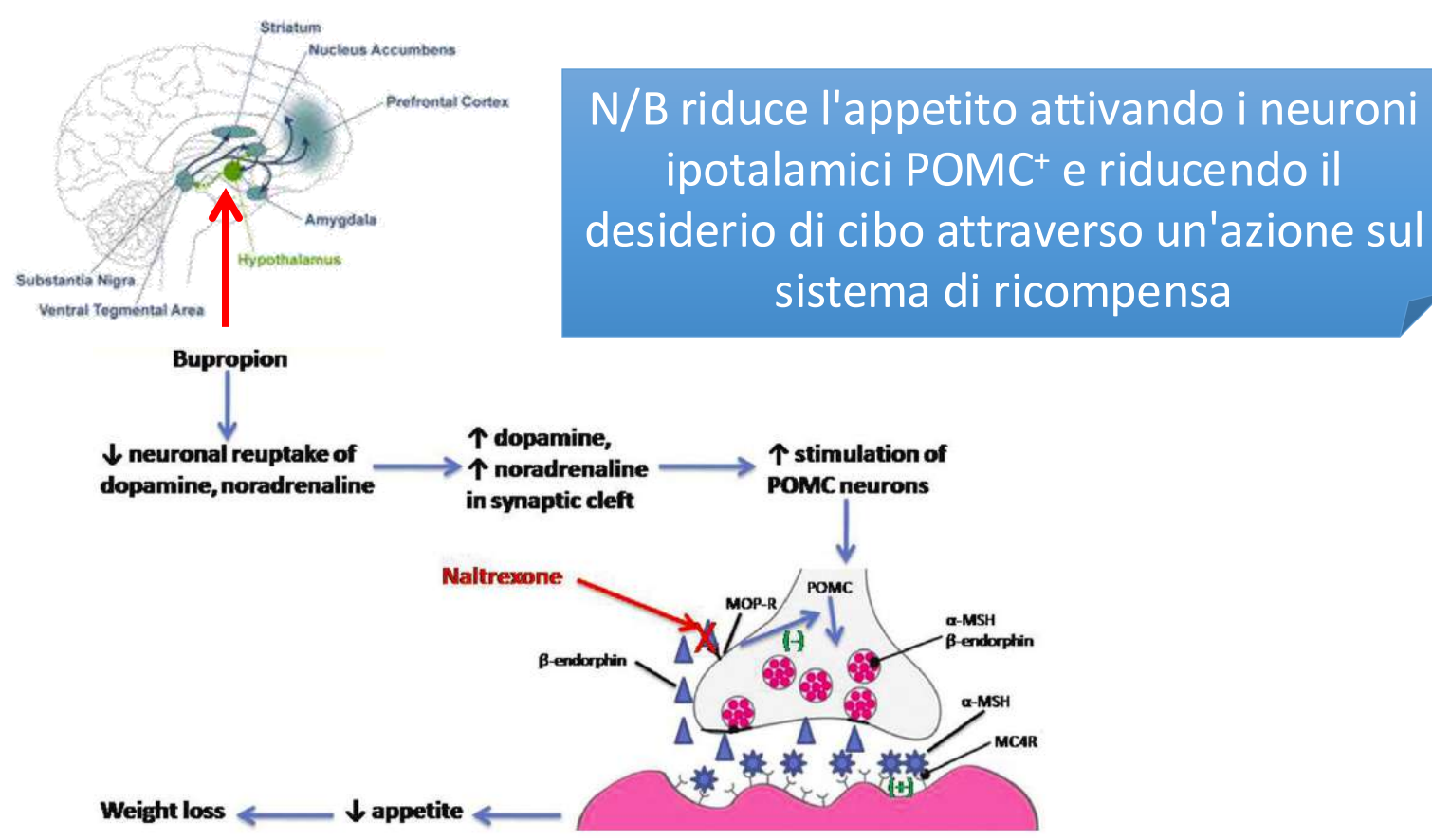


Controllo neurale dell'assunzione di cibo e gratificazione edonistica

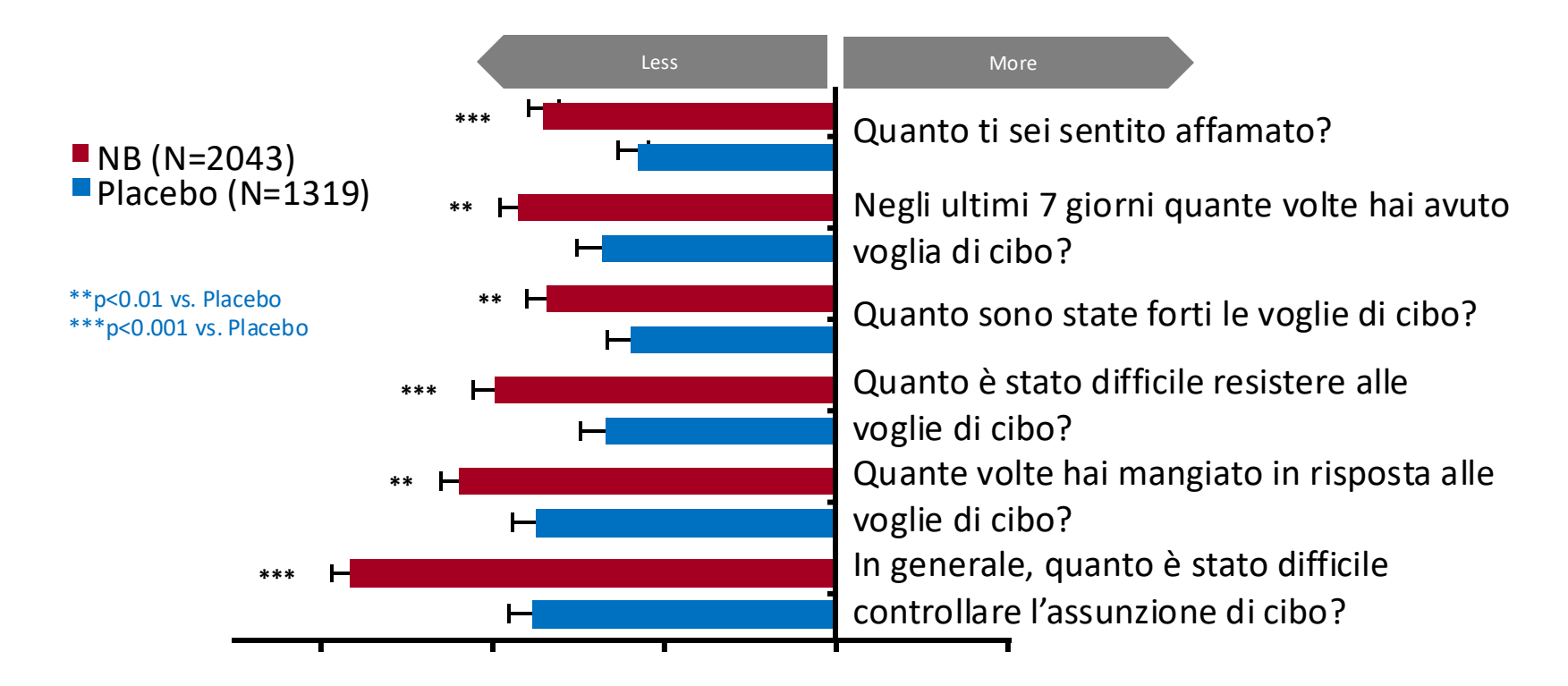




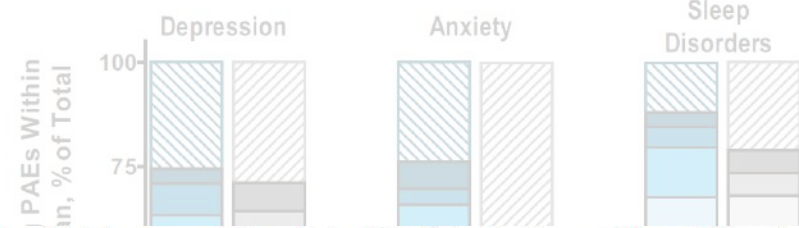
Naltrexone SR / Bupropione SR



Naltrexone/bupropione migliora alcuni indici di controllo di comportamento alimentare







Conclusions This large pooled analysis of 5 clinical trials provides additional safety information about the NB PAE profile. Anxiety and sleep disorder-related PAEs were more frequent with NB versus placebo but were mostly mild to moderate and generally occurred early. Depression-related PAEs were less common with NB than placebo, and NB was not associated with suicidal ideation or behavior in this patient population.



Fenotipizzazione funzionale dell'obesità

Meccanismi fisiopatologici per ciascun sottotipo?

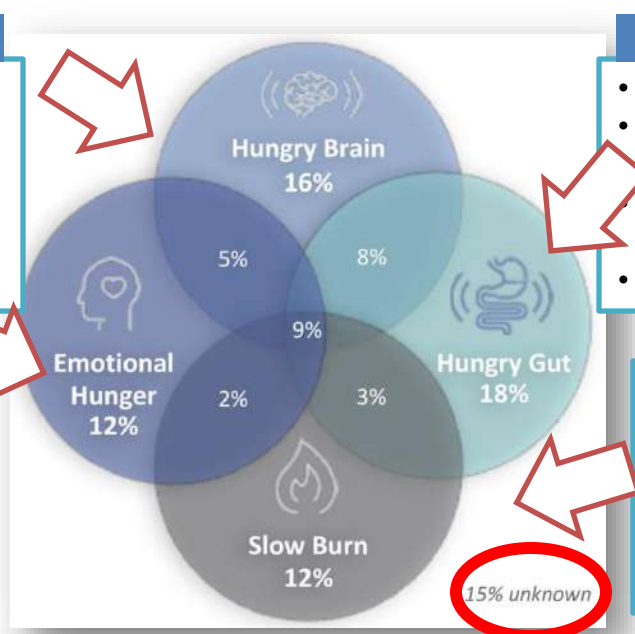
Alim, Edonica Attività motoria Fame Sazietà Syuotamento Spesa energetica Composizione Saziamento (VAS) (Buffet) (VAS) gastrico $(T_{1/2})$ (HADS e TFEO-21 (Cal. Ind. e HB) (Contapassi) (DXA)

Necessità di maggiori calorie per raggiungere sazietà

- Alterata regolazione ipotalamica della fame/sazietà
- Resistenza alla leptina con ridotta segnalazione di sazietà
- Iperattività di NPY
- Deficit di α-MSH a livello di ARC

Comportamento edonico

- Iperattività sistema limbico
- Ridotta attività cort. prefrontale
- Squilibri nei sistemi dopaminergico e serotoninergico
- (Elevati livelli di cortisolo da stress cronico)



Breve sazietà, svuotamento gastrico rapido

- Accelerato svuotamento gastrico
 - Ridotta produzione post-prandiale di GLP-1 e PYY
 - Alterata segnalazione vagale della distensione gastrica
 - Disbiosi del microbiota intestinale

Rallentamento del metabolismo basale

- Ridotta termogenesi di BAT
- Polimorfismi del gene FTO e altri geni metabolici
- Disfunzione mitocondriale nel muscolo scheletrico
- Adattamento post-dimagrimento

Farmacoterapia basata sulla classificazione del fenotipo obeso

- <u>cervello affamato</u>: fentermina-topiramato a rilascio prolungato alla dose di 7,5/46 mg al giorno o lorcaserina a 20 mg al giorno;
- <u>fame emotiva</u>: naltrexone/bupropione orale alla dose di 16/180 mg due volte al giorno;
- <u>intestino affamato</u>: liraglutide 3,0 mg;
- <u>combustione lenta</u>: fentermina 15 mg al giorno più aumento dell'allenamento di resistenza.

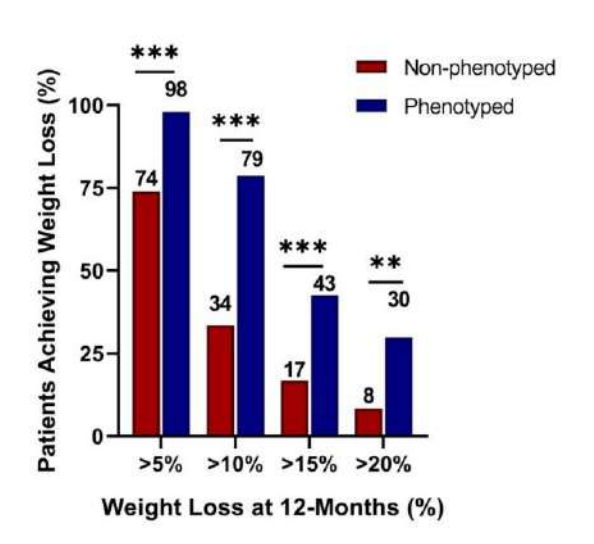
Fentermina: simpaticomimetico indiretto (aumento NA, DA e 5HCT)

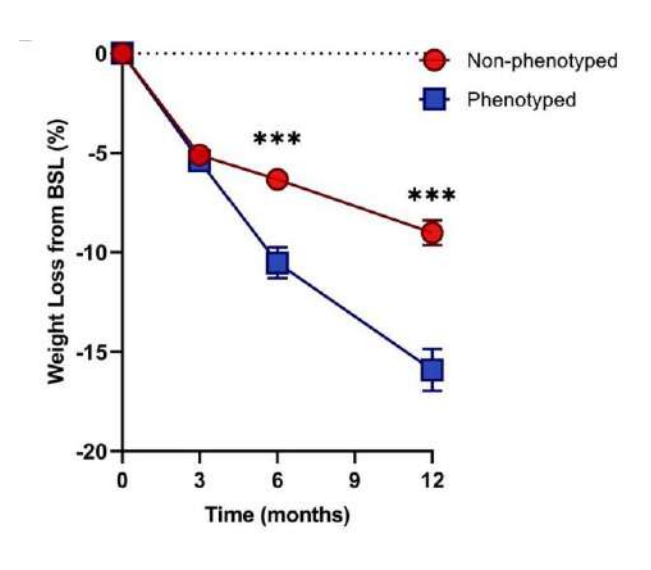
Topiramato aumenta l'attività del GABA e inibisce l'attività del glutammato

Lorcaserina: agonista del recettore della serotonina 2C

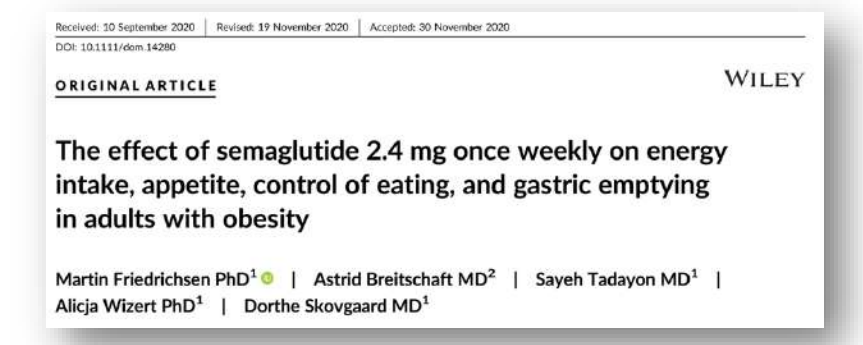
Farmacoterapia basata sulla fenotipizzazione dell'obesità

- L'approccio guidato dal fenotipo è risultato associato a una perdita di peso 1,75 volte maggiore dopo 1 anno.
- La percentuale di pazienti che hanno perso >10% a 1 anno è stata del 79% rispetto al 34% con trattamento non guidato dal fenotipo



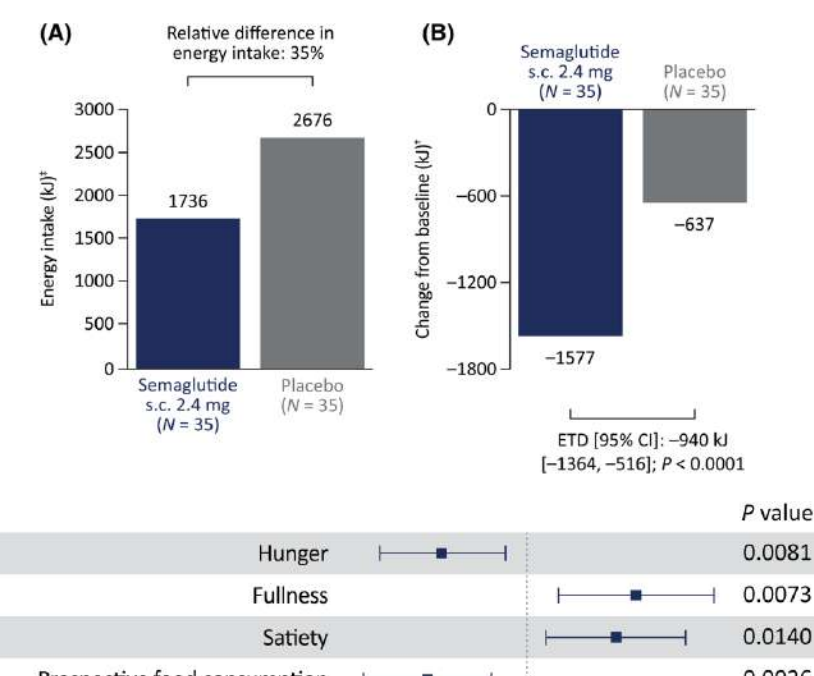


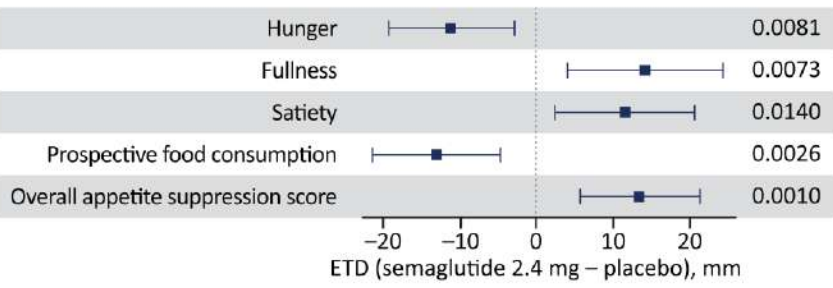
La categorizzazione spiega perché farmaci come i GLP-1RA mostrano maggior efficacia nei large eaters mentre interventi sulla modulazione dopaminergica (es. naltrexone/bupropione) risultano più appropriati nell'emotional eating.



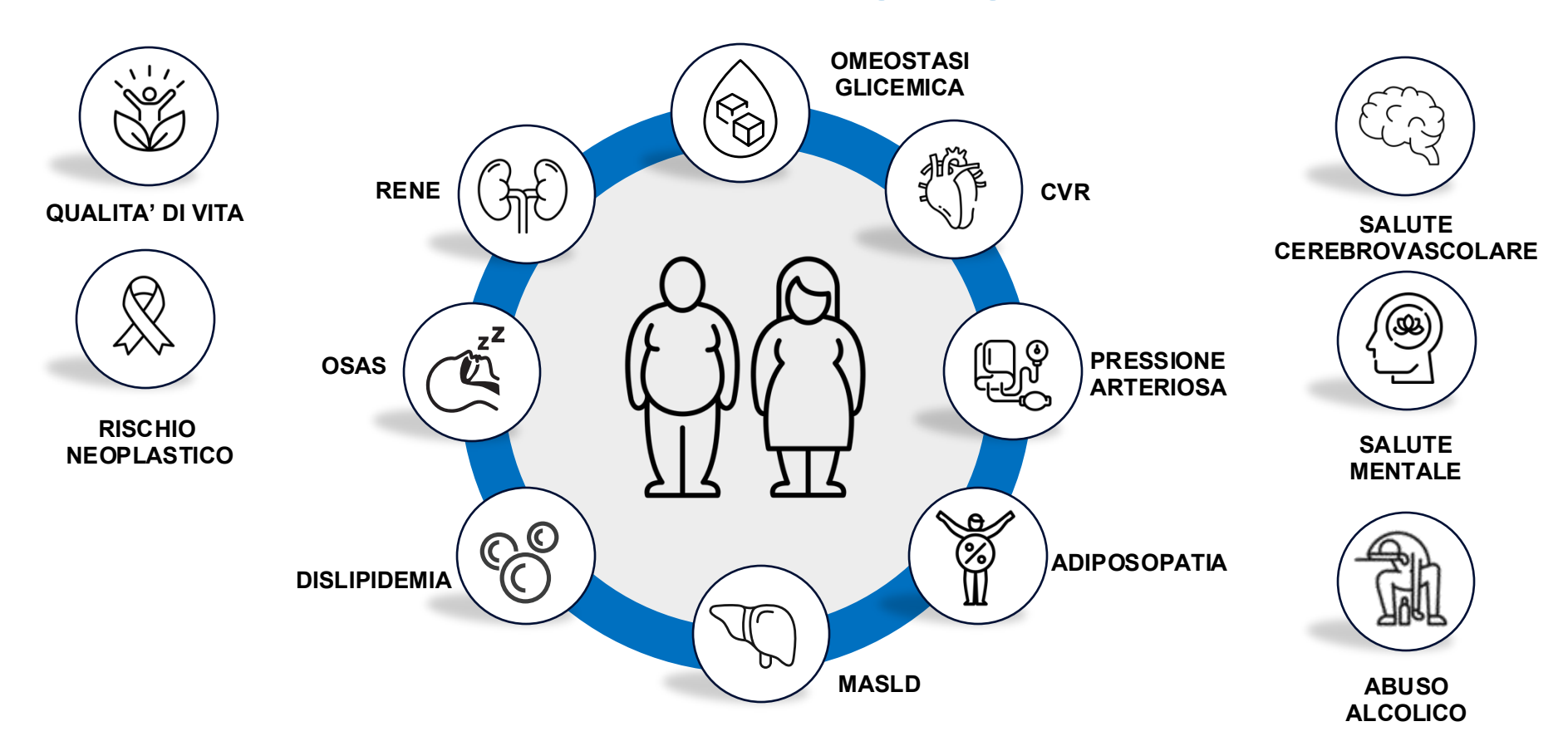
Semaglutide 2,4 mg

- sopprime l'appetito e migliora il controllo dell'intake calorico
- riduce il desiderio di cibo e l'assunzione ad libitum rispetto a placebo
- (in alcuni studi riduce i punteggi della Binge Eating Scale)



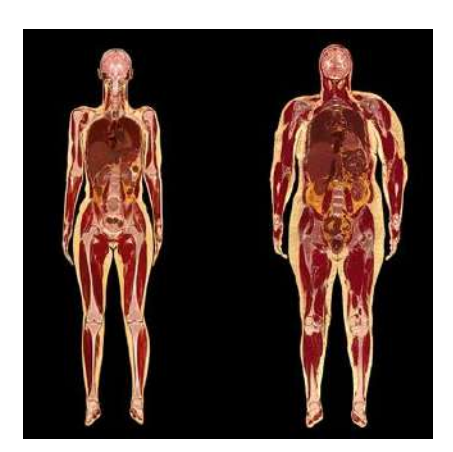


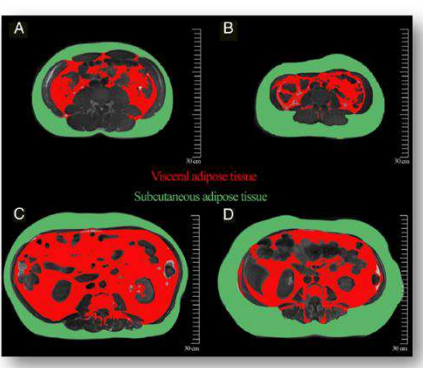
Benefici multi-sistemici degli agonisti incretinici

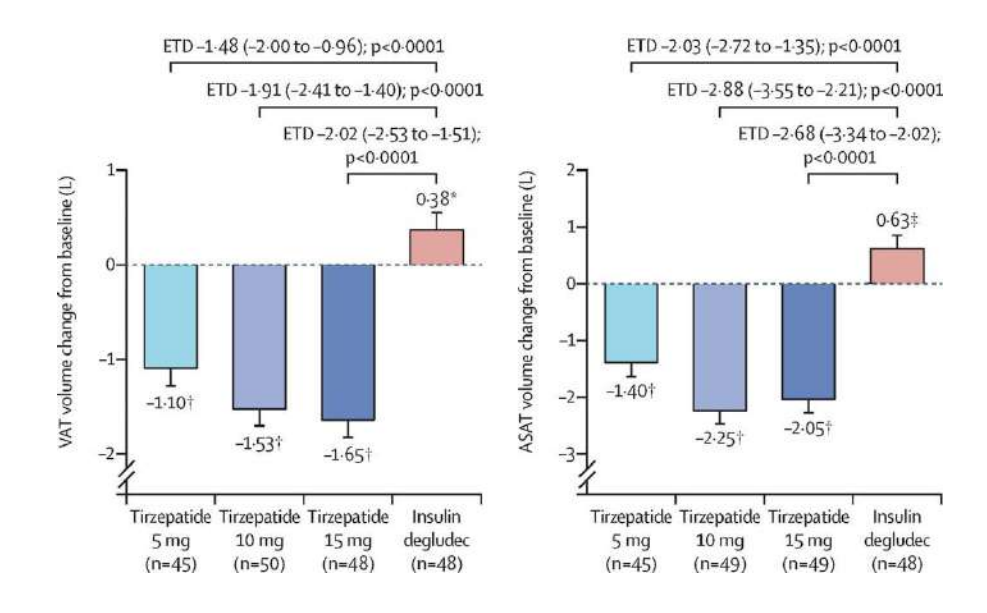


Tirzepatide migliora la distribuzione adiposa

SURPASS 3-MRI: 296 soggetti con T2D sottoposti a risonanza magnetica





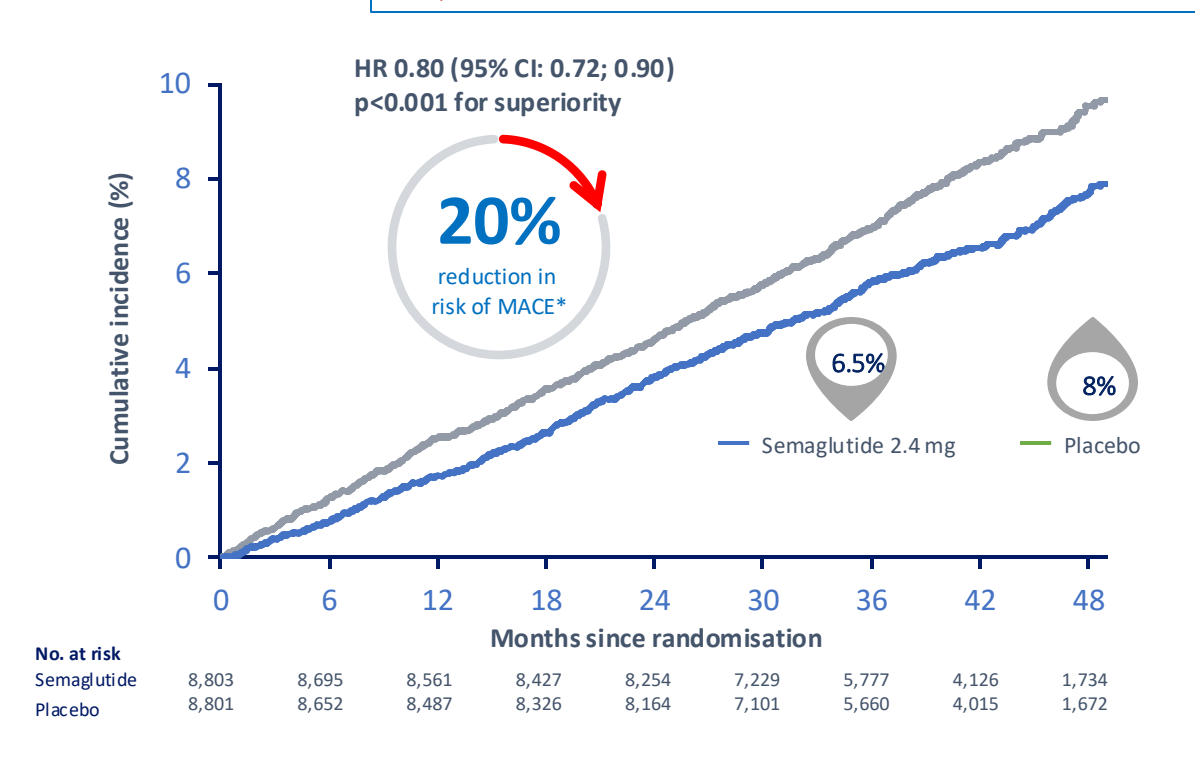


	Tirzepatide 5 mg (n=71)		Tirzepatide 10 mg (n=79)		Tirzepatide 15 mg (n=72)		Insulin degludec (n=74)	
VAT:ASAT ratio percentage	Mean	p value	Mean	p value	Mean	p value	Mean	p value
Baseline	61-68 (1-11)	44	60-14 (1-08)	40	60-74 (1-11)	227	60-40 (1-04)	2
At week 52	58-72 (0-62)	59	55.76 (0.56)	**	56-35 (0-56)	46	61.78 (0.57)	140
Change from baseline at week 52; p value vs baseline	-2-00 (0-62)	p=0·0014	-4-96 (0-56)	p<0-0001	-4-36 (0-56)	p<0.0001	1.06 (0.57)	p=0.065

SELECT: Effetti cumulativi sul MACE nell'obesità

Endpoint composito primario

17,604 Persone con obesità e CVD accertate, senza T2D



-15% incidenza di morte CV

-18% incidenza di HF

-19% incidenza di qualsiasi causa morte

Effetto oltre la sola perdita di peso

Cumulative incidence (using the Aalen-Johansen method) of the composite MACE primary endpoint. The HR was estimated using a Cox proportional hazards regression model. The proportion of participants with MACE was 6.5% with semaglutide 2.4 mg and 8.0% with placebo. MACE was defined as death from CV causes, non-fatal myocardial infarction, or non-fatal stroke. CI, confidence interval; HR, hazard ratio; MACE, major adverse cardiovascular events; MI, myocardial infarction.

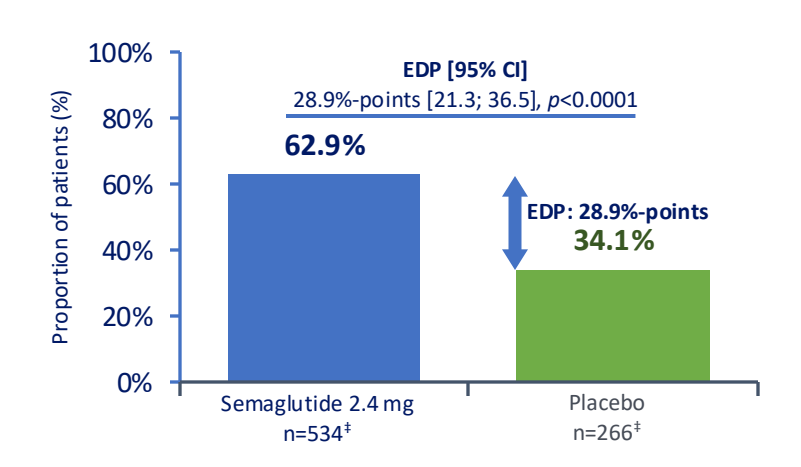
^{1.} Lincoff AM et al. N Engl J Med 2023 DOI:10.1056/NEJMoa2307563; 2. American College of Cardiology, SELECT: Semaglutide Reduces Risk of MACE in Adults With Overweight or Obesity, Accessed October 2023, https://www.acc.org/Latest-in-Cardiology/Articles/2023/08/10/14/29/SELECT-Semaglutide-Reduces-Risk-of-MACE-in-Adults-With-Overweight-or-Obesity

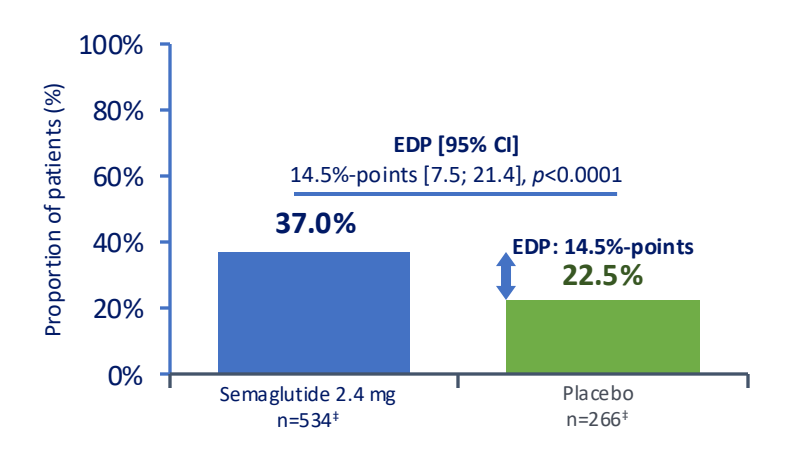
Semaglutide 2,4mg migliora MASH e fibrosi epatica

ESSENCE Trial: proportion of patients at Week 72

Risoluzione della MASH e nessun peggioramento della fibrosi epatica*

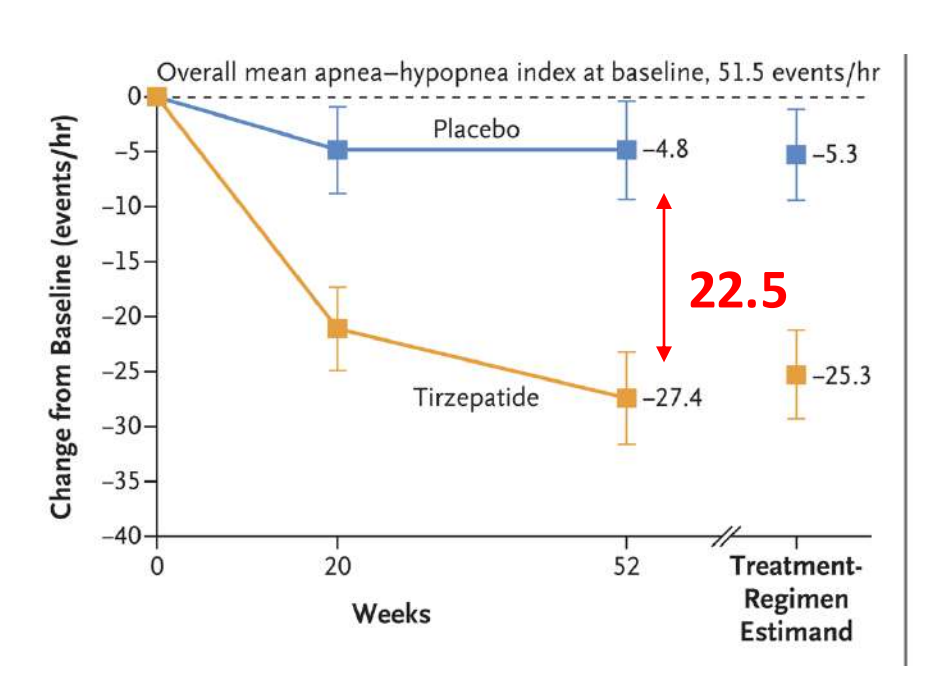
Miglioramento della fibrosi epatica e nessun peggioramento del MASH†



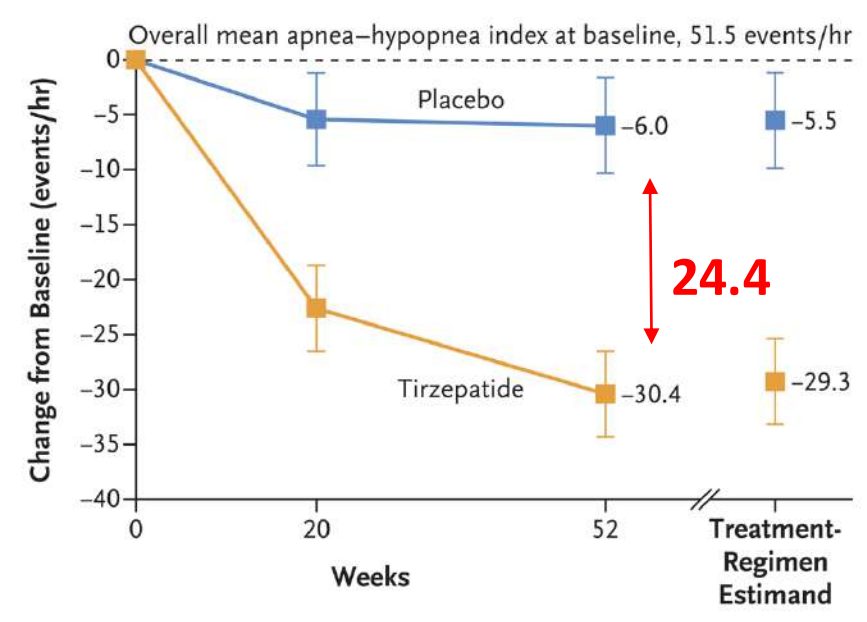


Tirzepatide migliora la gravità dell'OSA SURMOUNT-OSA

Study 1: Partecipanti non in cPAP



Study 2: Partecipanti al cPAP



Concludendo...

- PRESENTE: NON esiste una Precision Medicine nell'obesità.
- Strategie centrate sulla causa
- Focus centrato sul paziente
- Effetti mirati alle complicanze



• FUTURO: farmaci multi-molecolari e approccio gene-editing.